

MATERIÁLY

XI MEZINÁRODNÍ VĚDECKO - PRAKTICKÁ KONFERENCE

«DNY VĚDY - 2015»

27 března - 05 dubna 2015 roku

Díl 19 Technické vědy

Praha
Publishing House «Education and Science» s.r.o
2015

| | |
|--|----|
| Лысенко В.С., Сулейменов Б.Т. Модернизированная конструкция ветродвигателя..... | 51 |
| Sapa V., Vakhitov R. The possibility of using photovoltaic power plants in agriculture..... | 54 |
| Sapa V., Assylkhanov A. The possibility of using solar dryers in agriculture | 56 |
| Sapa V., Kuttybaev S. The possibility of using solar collectors in agriculture | 58 |

ELEKTROTECHNIKA A RADIOELEKTRONIKA

| | |
|---|----|
| Куцевол О.М., Куцевол М.О. Визначення вологості капілярно-пористих матеріалів із незначними заважальними факторами | 61 |
| Мадиханова А.Б., Аскерова Л.С. Разработка и изготовление печатных плат | 67 |
| Щенникова К.С., Несенюк Т.А. Применение RFID – технологий для диагностики ограничителей перенапряжений..... | 69 |

HORNICTVÍ

| | |
|---|----|
| Каражанов А.А. Моделирование кривых 4-го порядка с применением квадратичного преобразования..... | 77 |
| Кравчук Л.М. Дослідження методів рекультивації відпрацьованих кар'єрів ... | 82 |
| Баимбетов М.Н., Джексенбаев Е.К., Берембеков Е.Б. Эксплуатация пластов одной скважиной | 89 |

AUTOMATIZOVANÉ ŘÍDICÍHO SYSTÉMU NA VÝROBĚ

| | |
|--|----|
| Мукаева А.М., Каримов А.А. Особенности конструирования одежды на нестандартные женские фигуры | 95 |
|--|----|

OCHRANA PRÁCE

| | |
|---|----|
| Боднарук О.О., Готинчан Л.З., Ткаченко І.В. Європейська модель економічної мотивації охорони праці | 98 |
|---|----|

ELEKTROTECHNIKA A RADIOELEKTRONIKA

К.т.н. Кущевол О. М., к.т.н. Кущевол М. О.

Вінницький національний аграрний університет, Україна

ВИЗНАЧЕННЯ ВОЛОГОСТІ КАПІЛЯРНО-ПОРИСТИХ МАТЕРІАЛІВ ІЗ НЕЗНАЧНИМИ ЗАВАЖАЛЬНИМИ ФАКТОРАМИ

Вміст вологи в капілярно-пористих органічних матеріалах суттєво впливає на їх властивості та термін зберігання. Більшість досліджень в галузі вологометрії [1-3] направлені на розроблення зручних, швидких з малими енергозатратами електричних методів визначення вмісту вологи в матеріалах та кінцевих продуктах і виробах.

В більшості випадків еквівалентна схема чутливого елемента з досліджуваним матеріалом невисокої вологості може бути представлена паралельним з'єднанням опору втрат R_M , значення якого сягає десятків мегаом, та ємністю C (рис.1, а) [4].

$$C = C_M + C_0, \quad (1)$$

де C_M – дійсна (фактична) [5] ємність вологого матеріалу;
 C_0 – ємність порожнього ЧЕ.

Як видно з діаграми (рис.1, б) [6]:

$$\operatorname{tg} \delta = \frac{I_R}{I_C} = \frac{1}{\omega \cdot C \cdot R_M}. \quad (2)$$

Комплексна провідність заповненого чутливого елемента:

$$\dot{Y} = \frac{1}{R_M} + j \cdot \omega \cdot C = \frac{1 + j \cdot \omega \cdot R_M \cdot C}{R_M} = \frac{1 + j \cdot \frac{1}{\operatorname{tg} \delta}}{R_M}, \quad (3)$$

Комплексний опір чутливого елемента з досліджуваним матеріалом:

$$\dot{Z} = \frac{1}{\dot{Y}} = \frac{R_M}{1 + j \cdot \frac{1}{\operatorname{tg} \delta}} = \frac{R_M}{\sqrt{1 + \frac{1}{\operatorname{tg} \delta}}} \cdot e^{-j \cdot \varphi}, \quad (4)$$

де ϕ – фазовий зсув між напругою U_M та струмом i_M чутливого елемента.

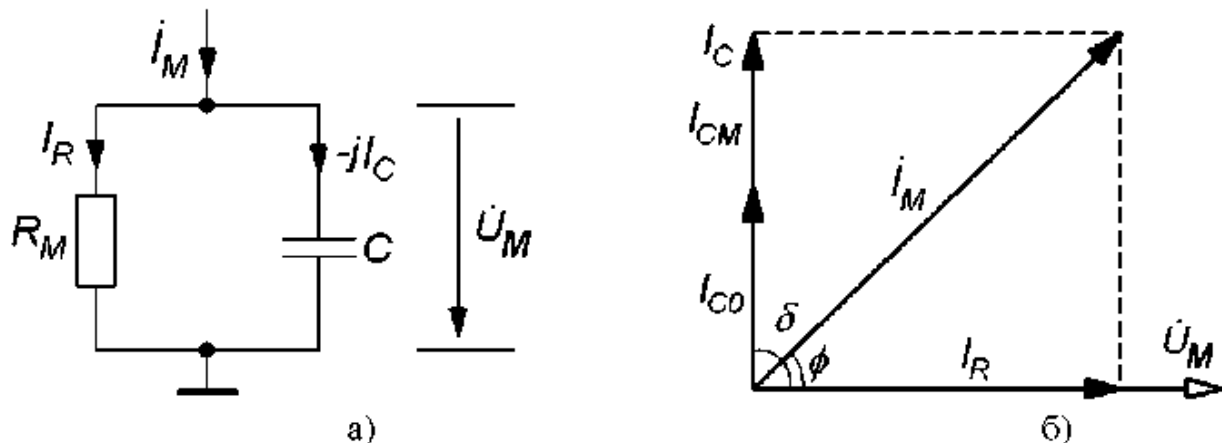


Рис.1. Еквівалентна схема (а) та векторна діаграма (а) чутливого елемента

Модуль комплексного опору:

$$|\dot{Z}| = \frac{R_M}{\sqrt{1 + \frac{1}{\operatorname{tg}^2 \delta}}} = \sqrt{\frac{R_M^2}{1 + \frac{1}{\operatorname{tg}^2 \delta}}} = \sqrt{\frac{R_M^2 \cdot \left(1 + \frac{1}{\operatorname{tg}^2 \delta}\right)}{\left(1 + \frac{1}{\operatorname{tg}^2 \delta}\right)^2}} = \sqrt{\frac{R_M^2 + \frac{R_M^2}{\operatorname{tg}^2 \delta}}{\left(1 + \frac{1}{\operatorname{tg}^2 \delta}\right)^2}} = \sqrt{\left(\frac{R_M}{1 + \frac{1}{\operatorname{tg}^2 \delta}}\right)^2 + \left(\frac{\frac{R_M}{\operatorname{tg} \delta}}{1 + \frac{1}{\operatorname{tg}^2 \delta}}\right)^2}, \quad (5)$$

Враховуючи вирази (3) і (4) комплексний опір чутливого елемента з матеріалом в алгебраїчній формі:

$$\underline{Z} = \frac{R_M}{1 + \frac{1}{\operatorname{tg}^2 \delta}} - j \frac{\frac{R_M}{\operatorname{tg} \delta}}{1 + \frac{1}{\operatorname{tg}^2 \delta}} = R_s - jX_{Cs}, \quad (6)$$

де R_s – досліджуваний активний опір ЧЕ з матеріалом;

X_{Cs} – досліджуваний реактивний опір ЧЕ з матеріалом.

З виразу (6) досліджуваний ємнісний опір перетворювача:

$$X_{C_e} = \frac{1}{\omega \cdot C_e} = \frac{\frac{R_M}{\operatorname{tg}\delta}}{1 + \frac{1}{\operatorname{tg}^2\delta}} = \frac{R_M \cdot \operatorname{tg}\delta}{1 + \operatorname{tg}^2\delta}. \quad (7)$$

З виразу (7) знаходимо вимірюну ємність перетворювача:

$$C_e = \frac{1 + \operatorname{tg}^2\delta}{\omega \cdot R_M \cdot \operatorname{tg}\delta} = \frac{1 + \operatorname{tg}^2\delta}{\frac{\omega \cdot R_M}{\operatorname{tg}^2\delta}} = C(1 + \operatorname{tg}^2\delta). \quad (8)$$

Звідси ємність C :

$$C = \frac{C_e}{1 + \operatorname{tg}^2\delta}. \quad (9)$$

Дійсна ємність матеріалу [5]:

$$C_M = C - C_0 = \frac{C_e}{1 + \operatorname{tg}^2\delta} - C_0. \quad (10)$$

Вимірюна (увівна) ємність [5] і $\operatorname{tg}\delta$ визначаються за будь-яким відомим методом.

Тангенс кута діелектричних втрат вологих капілярно-пористих матеріалів може досягати великих значень, тому вимірюна ємність набагато більша ємності матеріалу, що характеризує вологість. Цим пояснюється значна похибка контролю вологості при використанні вимірюної ємності ЧЕ.

Наявність нестабільного і тривалого в часі струму активної провідності вимагає великого часу вимірювання (десятки секунд), що зменшує експресність контролю.

Таким чином, дійсна ємність матеріалу може бути ефективним інформативним параметром при контролі вологості вологих матеріалів з нестабільними діелектричними втратами.

Запропонований метод може бути реалізований в вимірювальному перетворювачі (ВП), який складається з чутливого елемента та зразкового опору, з'єднаних послідовно. Вихідним параметром такого перетворювача може бути напруга $\dot{U}_{\text{ЧЕ}}$. Для її знаходження скористаємося еквівалентними схемами (рис.2, а і б).

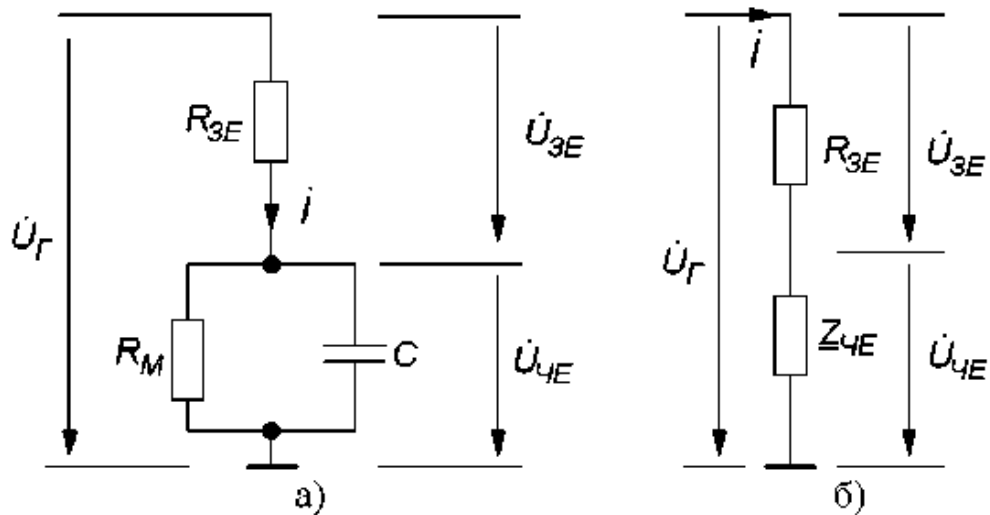


Рис.2. Еквівалентні схеми вимірювального перетворювача

$$\begin{aligned}
 I &= \frac{\dot{U}_\Gamma}{R_{3E} + Z_{QE}} = \frac{\dot{U}_\Gamma}{R_{3E} + \frac{R_M}{1 + j \cdot \omega \cdot R_M \cdot C}}; \\
 U_{QE} &= \frac{\dot{U}_\Gamma \cdot \frac{R_M}{1 + j \cdot \omega \cdot R_M \cdot C}}{R_{3E} + \frac{R_M}{1 + j \cdot \omega \cdot R_M \cdot C}} = \frac{\dot{U}_\Gamma \cdot R_M}{R_{3E} + R_M + j \cdot \omega \cdot R_{3E} \cdot R_M \cdot C} = \\
 &= \frac{\dot{U}_\Gamma \cdot R_M}{(R_{3E} + R_M) + j \cdot \omega \cdot R_{3E} \cdot R_M \cdot (C_M + C_0)}, \\
 C_M &= \frac{1}{\omega} \cdot \frac{U_{3E-}}{R_{3E} \cdot U_{QE-}} \cdot \sqrt{\left(\frac{U_{3E}}{U_{3E-}}\right)^2 \cdot \left(\frac{U_{QE}}{U_{QE-}}\right)^2 - 1}; \quad (11)
 \end{aligned}$$

де U_{3E-} і U_{QE-} – напруги зразкового і чутливого елементів на постійному струмі; U_{3E} і U_{QE} – модулі напруг зразкового і чутливого елементів на змінному струмі.

З виразу (11) очевидно, що вихідна напруга U_{QE} залежить від C_M та R_M при постійних значеннях R_{3E} та C_0 . Оскільки R_M – це опір, що відображає втрати в матеріалі, а вони мають значну температурну нестабільність, то вихідна напруга не може використовуватись в якості вихідного параметру ВП. Відомо [6], що параметром, захищеним від нестабільних діелектричних втрат, є струм, що протікає через ємність C_M . Розглянемо еквівалентну схему та векторну діаграму ВП (рис.3, а і б).

Вимірюючи додатково напругу на зразковому елементі U_{3E} та U_Γ , можемо знайти кут φ між напругами на чутливому і зразковому елементах

$$\varphi = \arccos \frac{U_{3E}^2 + U_{4E}^2 - U_F^2}{2 \cdot U_{3E} \cdot U_{4E}} \quad (12)$$

а з його допомогою кут α

$$\alpha = 180^\circ - \arccos \frac{U_{3E}^2 + U_{4E}^2 - U_F^2}{2 \cdot U_{3E} \cdot U_{4E}}, \quad (13)$$

і нарешті кут β

$$\beta = 90^\circ - \alpha = \arccos \frac{U_{3E}^2 + U_{4E}^2 - U_F^2}{2 \cdot U_{3E} \cdot U_{4E}} - 90^\circ. \quad (14)$$

Знаходимо модуль струму I

$$I = \frac{U_{3E}}{R_{3E}} \quad (15)$$

та модуль струму i_C

$$I_C = I \cdot \cos \beta = I \cdot \cos \left(\arccos \frac{U_{3E}^2 + U_{4E}^2 - U_F^2}{2 \cdot U_{3E} \cdot U_{4E}} - 90^\circ \right). \quad (16)$$

З діаграми (рис.3, б), очевидно, що струм матеріалу i_{CM} , який залежить від ємності матеріалу C_M , дорівнює

$$i_{CM} = i_C - i_{CO}. \quad (17)$$

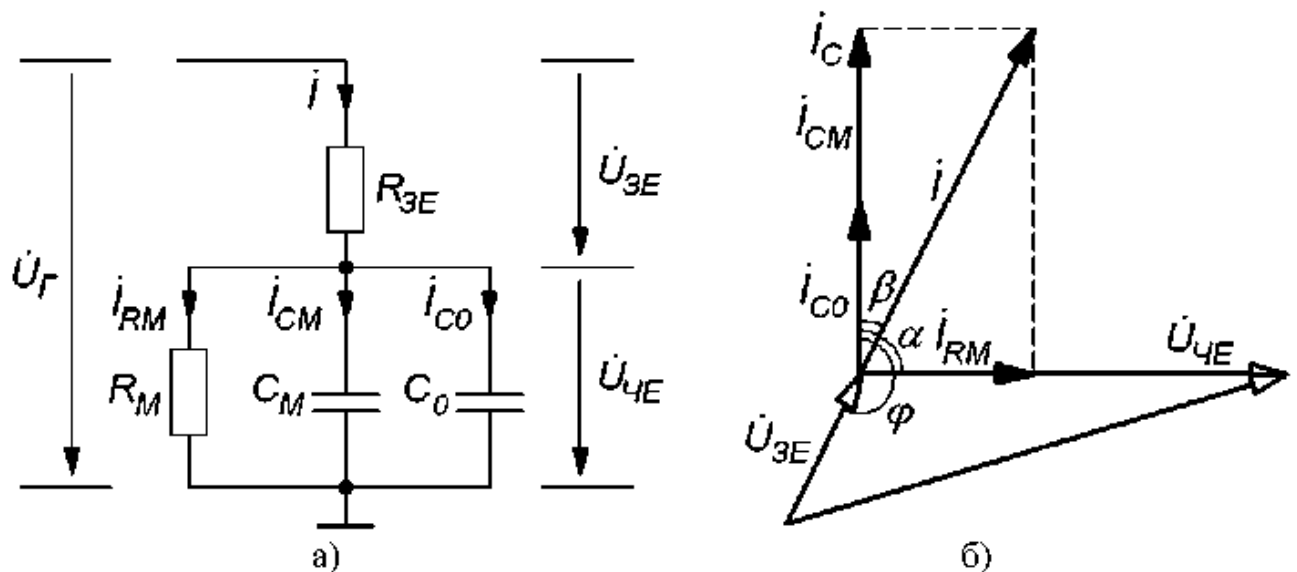


Рис.3. Еквівалентна схема (а) та векторна діаграма (б) ВП із слабкозволоженим зерном

Струм ємності матеріалу є параметром ВП, що не залежить від діелектричних втрат, але він є незахищеним від нестабільної пористості.

В цьому випадку можна використати додатковий параметр – струм ємності матеріалу на іншій частоті. При цьому сукупним інформативним параметром ВП може бути коефіцієнт відносного приросту струму ємності матеріалу K_1

$$K_1 = \frac{100 \cdot (I_{CM1} - I_{CM2})}{I_{CM1} + I_{CM2}}, \quad (18)$$

де I_{CM1} та I_{CM2} – ємнісні струми чутливого елемента на частотах ω_1 та ω_2 .

З (18) видно, що інформативними параметрами первинного перетворювача є напруги U_F , U_{ZE} , U_{YE} .

Висновок

Вираз (18) доцільно використати при побудові приладу контролю вологості капілярно-пористих матеріалів з незначними втратами і нестабільною пористістю.

Експериментальні дослідження запропонованого методу і його порівняння з методом, в якому визначається повний струм чутливого елемента, дали такі результати для зерна з $W = 14,1\%$ (перевірка проведена арбітражним термогравіметричним методом):

- діелектрометричний метод повної провідності – $\Delta W = 0,9\%$;
- діелектрометричний метод визначення вологості матеріалу з незначними діелектричними втратами і нестабільною пористістю – $\Delta W = 0,16\%$.

Література:

1. Секанов Юрий Петрович. Влагометрия сыпучих и волокнистых растительных материалов : монография / Ю. П. Секанов. – М. : ВИМ, 2001. – 190 с. – ISBN-5-7010-0283-7.
2. Берлинер Марк Александрович. Измерения влажности / М. А. Берлинер. – М. : Энергия, 1973. – 400 с.
3. Дубров Николай Семенович. Многопараметрические влагомеры сыпучих материалов / Николай Семенович Дубров, Евгений Самойлович Кричевский, Борис Исаакович Невзлин. – М. : Машиностроение, 1980. – 144 с.
4. Поджаренко В. О. Високочастотні методи та засоби вимірювання волості капілярно-пористих матеріалів / Володимир Олександрович Поджаренко, Олег Миколайович Куцевол // Вісник національного університету «Львівська політехніка». – 2003. – № 64. – С. 147–152.
5. Куцевол О. М. Метод визначення ємності матеріалу зі значними діелектричними втратами / О. М. Куцевол, М. О. Куцевол // Вимірювальна та обчислювальна техніка в технологічних процесах : IX наук.-техн. конф., 30 трав.–2 черв. 2002 р. : тези допов. – Хмельницький, 2002. – С. 86–88.
6. Пат. 75700 Україна, МПК G 01 N 27/22. Спосіб вимірювання вологості / Поджаренко В. О., Куцевол М. О., Куцевол О. М. ; заявник патентовласник Вінницьк. націон. техн. унів. – №2004032000 ; заявл. 18.03.04; опубл. 15.05.06, Бюл. № 5. – 2 с.

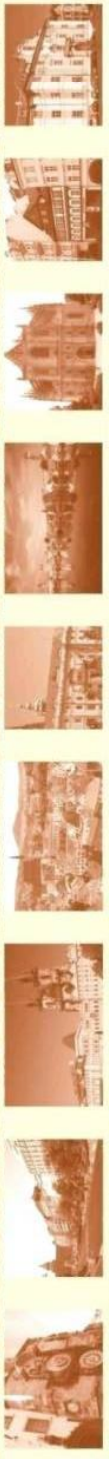
CERTIFIКАТ

MEZINÁRODNÍ
VĚDECKO-PRAKTICKÁ KONFERENCE

www.rusnauka.com

MEZINÁRODNÍ VĚDECKO-PRAKTICKÁ KONFERENCE

DNY VĚDY



г. Прага

22 - 30 марта

Секция:
Технические науки
Авторы:
Кучевол О.М., Кучевол М.О.

Доклад на тему:

Визначення вологості капілярно-пористих
матеріалів із незначними заважальними
факторами



MEZINÁRODNÍ
VĚDECKO-PRAKTICKÁ KONFERENCE

Председатель
 оргкомитета Piter Novak

P. Novak

Publising house Education
and Science s.r.o.
IČO: 211 54 577
Prague 1 1/314, Praha 1
MŠ v Praze, odd. C, tel. 261 914